

ČESKÝ  
HYDROMETEOROLOGICKÝ  
ÚSTAV

# Nová provozní verze modelu ALADIN ve vysokém rozlišení

Radmila Brožková, oddělení numerické  
předpovědi počasí ČHMÚ



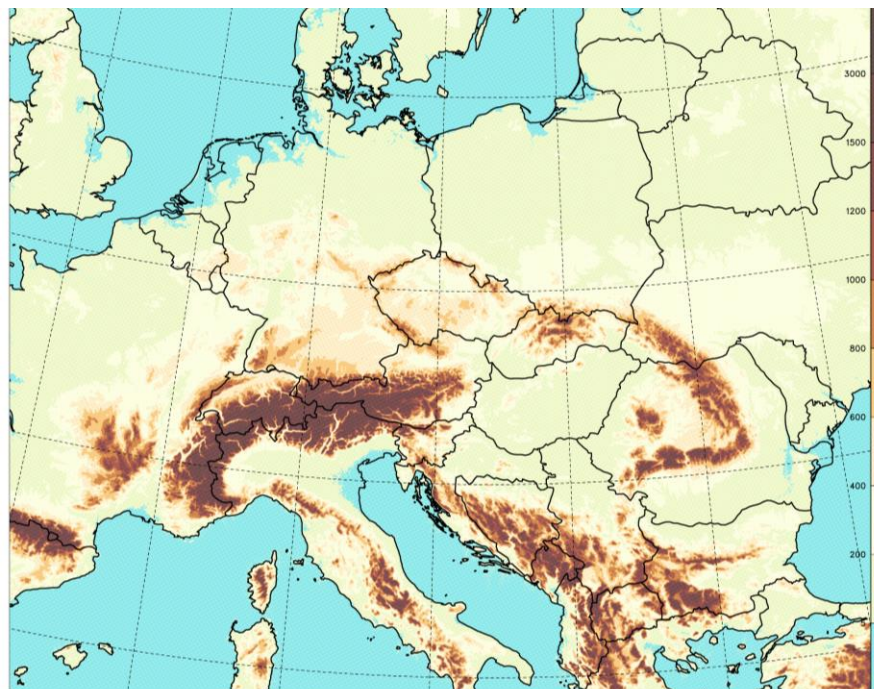
# Osnova přednášky

- Výpočetní oblast nového rozlišení 2,325 km, určení orografie a dalších charakteristik;
- Přejechod na nehydrostatickou verzi modelu;
- Kterých parametrizací se přechod na vyšší rozlišení modelu dotkl;
- Asimilační cyklus;
- Ukázky výsledků a nových produktů.



# Výpočetní oblast a grid modelu

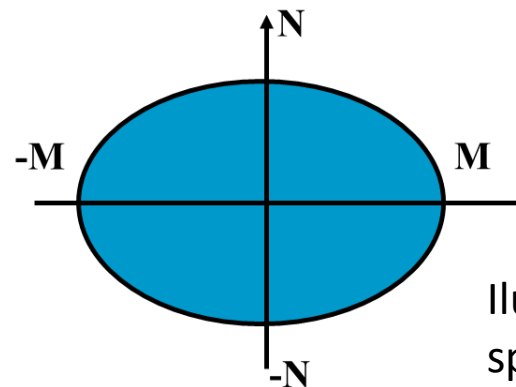
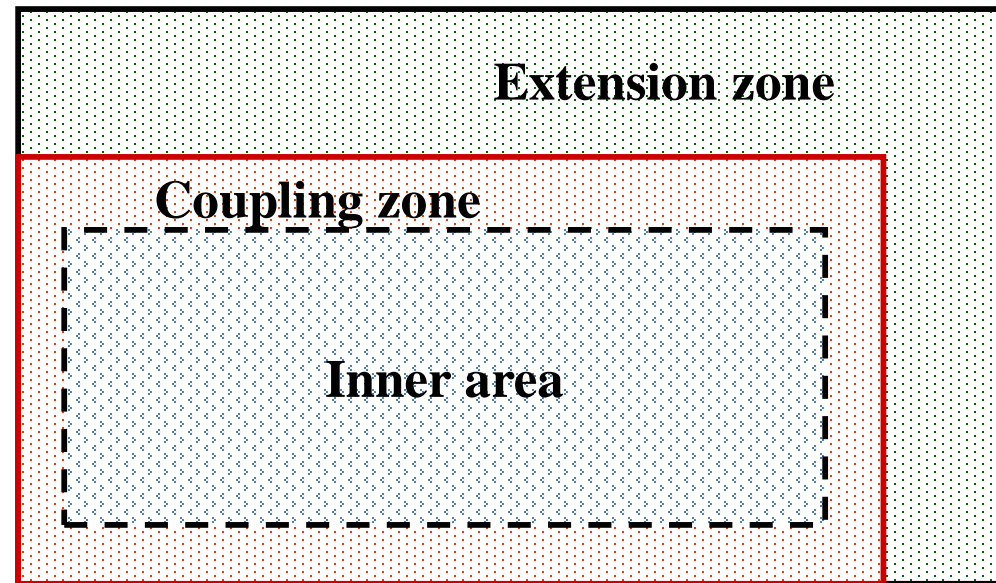
- Zeměpisná rozloha oblasti je zachována;
- V horizontální rovině máme **1069 x 853 bodů** při kroku sítě **2,325 km**.
- Ve vertikále máme **87 hladin**;
- Orografie je určena v každém bodě jako střední hodnota výšek v jeho okolí z nové, jemnější topografické databáze GMTED2010.



Orografie modelu v rozlišení 2,325 km po spektrálním ořezání s nejkratší vlnovou délkou  $3 \Delta x$ .

# Výpočetní oblast a spektrum modelu

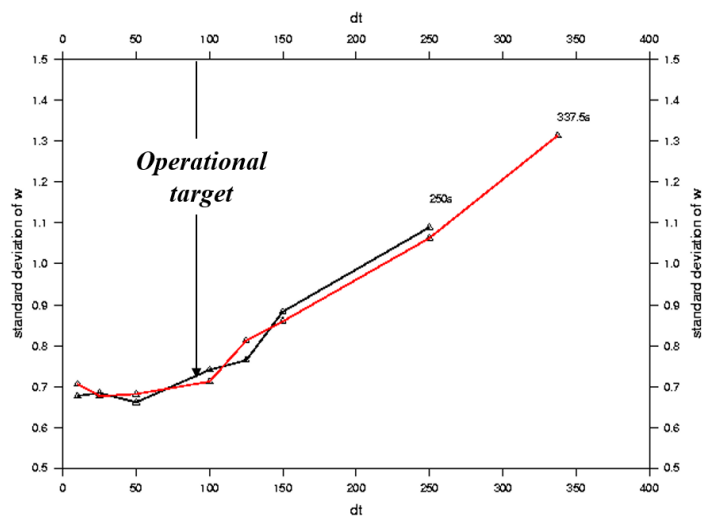
- ALADIN je *spektrální model*;
- Využívá **bi-Fourierův rozvoj**; je nutné získat periodicitu polí v obou horizontálních směrech. Docílí se přidáním matematické zóny, viz obrázek. Celkově pak máme **1080x864 bodů** – vhodné pro **FFT** algoritmus;
- Spektrum je konečné, ořezává se elipticky (isotropie) a využíváme maximální *spektrální rozlišení* **M=539 a N=431 vln**.
- Fourierův rozvoj se aplikuje pouze na proměnné dynamiky modelu;
- **Výpočty ve spektru**: řešení semi-implicitního časového schématu, výpočet derivací, obecně aplikace operátoru  $\nabla$  (horizontální difuze).



Ilustrace ořznutí spektrálního rozvoje.

# Nehydrostatická verze ALADINa

- Odstranění hydrostatické aproximace v rovnicích (vývoj od 1993):
  - V dynamickém jádru máme **dvě nové prognostické rovnice**:
    - Pro časovou **tendenci skutečného tlaku**;
    - Pro časovou **tendenci vertikální rychlosti**, tedy **vertikální zrychlení**.
  - Plná elasticita, **zvukové vlny** jsou součástí řešení, **nejsou filtrovány** (anelastická aproximace se neukazuje vhodná pro NWP);
  - **Nutnost vhodných numerických algoritmů** pro dosažení vysoké stability i pro delší časové kroky, zachování přesnosti;



## Řešení:

Iterované Centrované Implicitní schéma **ICI se 2 časovými hladinami**;

Kombinace se semi-Lagrangeovskou advekcí:

Označení **2TL-ICI-SL**

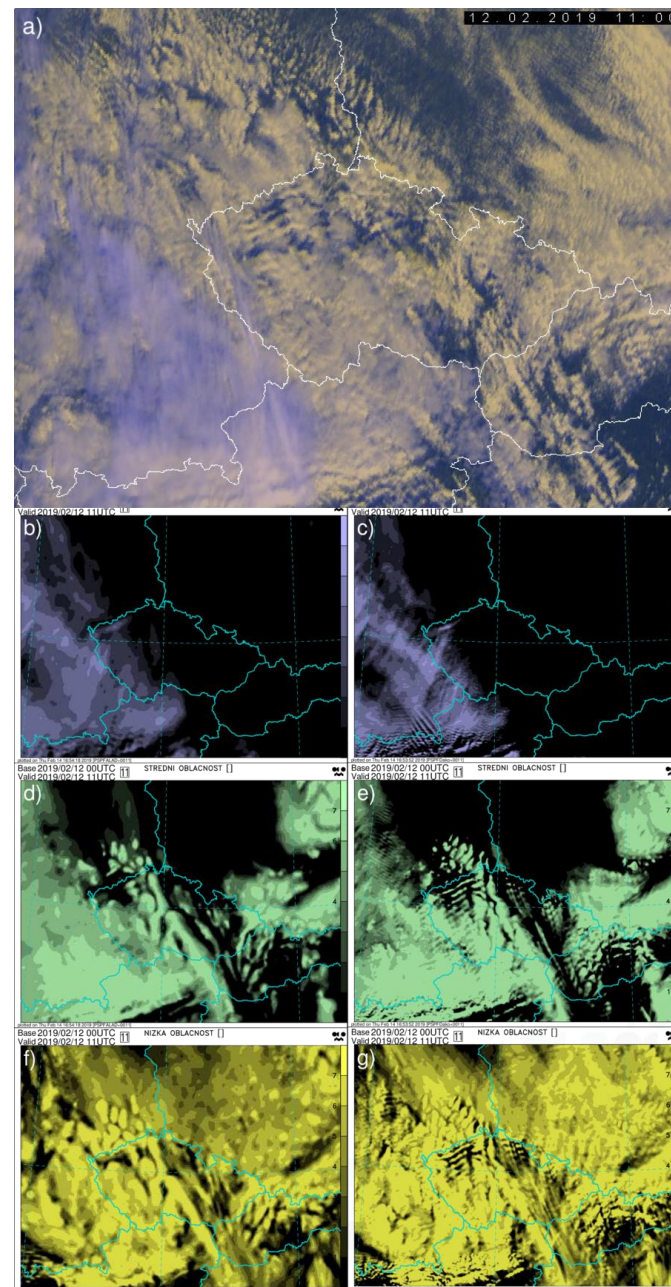
**$\Delta t=90$  s,  $\Delta x=3235$  m, 1 iterace časového schématu**

# Význam nehydrostatické dynamiky

Odstranění hydrostatické aproximace neznamena jen numerické potíže se zvukovými vlnami, které jsou meteorologicky nezajímavé.

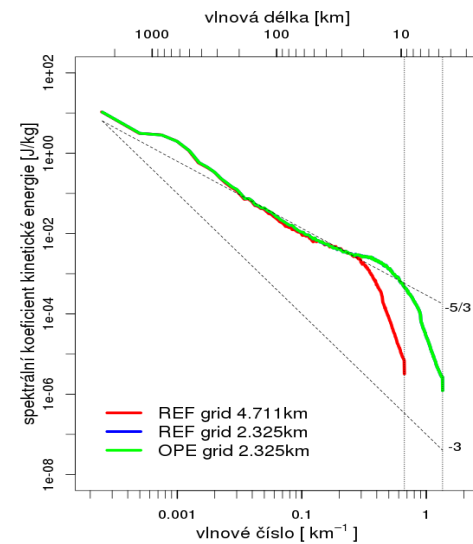
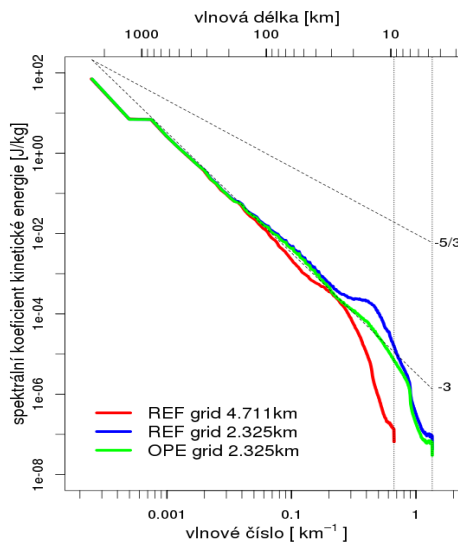
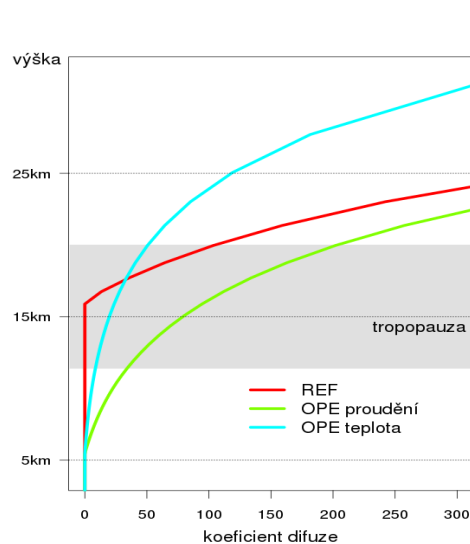
Model začne popisovat tzv. **nehydrostatické jevy**, jako jsou vnitřní gravitační vlny, způsobené vztakovými silami (buoyancy waves). Jsou dobře vidět na **vlnové oblačnosti**, viz obrázek. Vlevo je řešení hydrostatického modelu se 4,7 km, vpravo nehydrostatického modelu s 2,3 km pro patra vysoké, střední a nízké oblačnosti, nahoře je satelitní snímek. Situace 12/02/2019, délka předpovědi 11h.

**Konvekce je nehydrostatický jev**, takže i zde se nehydrostatickému modelu bude lépe dařit.



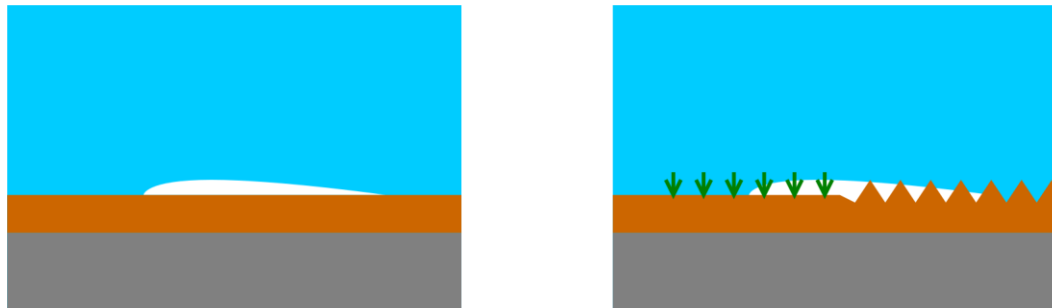
# Horizontální difuze

- Role horizontální difuze:
  - Odstranění šumu (nedokonalosti numerického řešení);
  - Parametrizace přenosu energie do již nerozlišených vln.
- ALADIN má schéma SLHD (Semi-Lagrangian Horizontal Diffusion); kombinuje spektrální difuzi a lokální selektivní difuzi využívající vlastnosti interpolátorů SL advekce.
- Při změně rozlišení dojde k posunu spektra – naladění schématu.



# Nerozlišená orografie a drsnost povrchu

- Role parametrizace nerozlišené orografie:
  - Vznik gravitačních vln a jejich depozice s výškou;
  - Účinek obtékání;
  - Účinek objemu.
  - Při **dostatečně (?) vysokém rozlišení** by již neměla být potřeba – pragmatické rozhodnutí dle skóre modelu; zatím ponechána se sníženým účinkem.
- Revize parametrizace drsnosti povrchu a ošetření vlivu sněhové pokrývky na drsnost, sjednocení výpočtu frakce sněhové pokrývky v rámci výpočetní buňky též pro albedo a emisivitu.

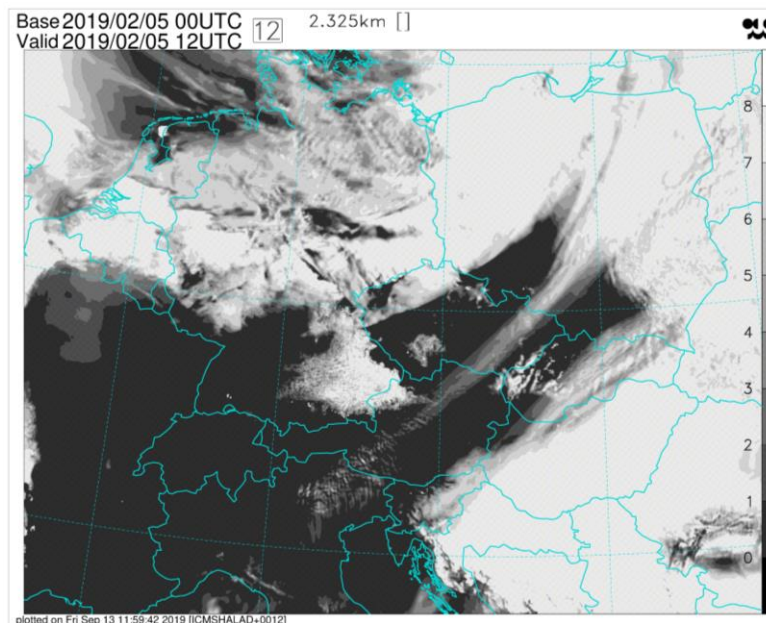
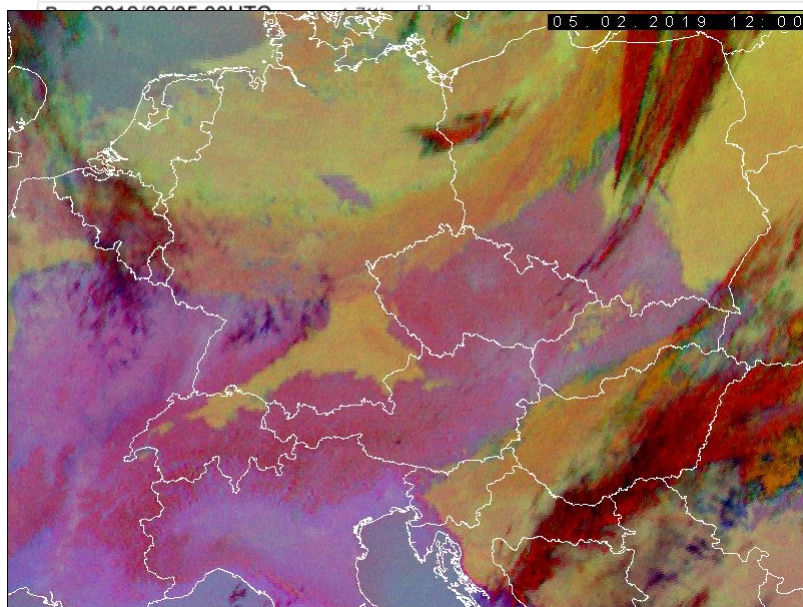


Ilustrace vlivu drsnosti povrchu na rozložení sněhové pokrývky



# Oblačnost pro radiaci

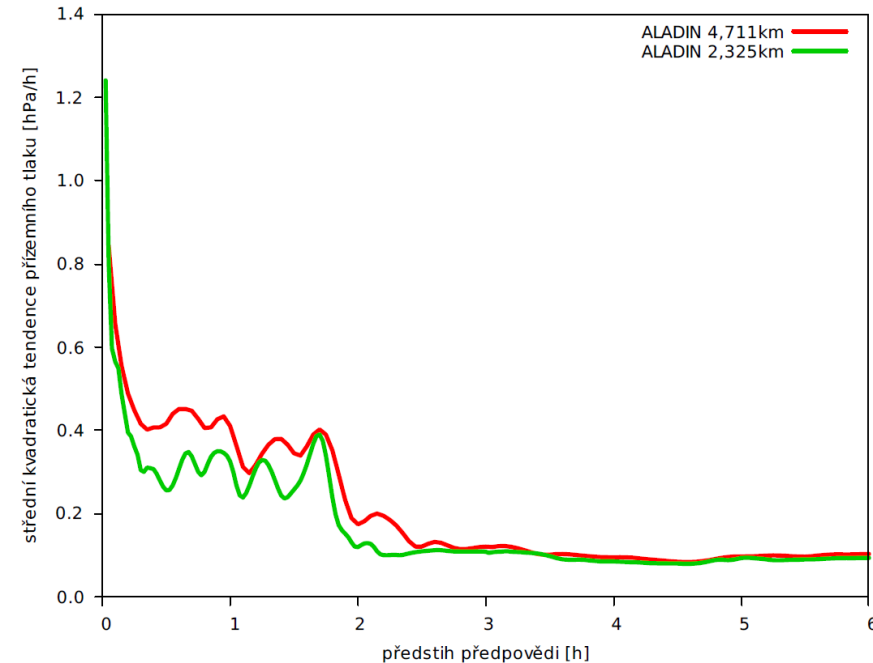
- Schéma záření pracuje s celkovou oblačnou pokrývkou ve výpočetní buňce a s měrným obsahem kondenzované vody a ledu. Příspěvky:
  - oblačnost vrstevnatá (rozlišená ve výpočetní buňce);
  - oblačnost mělké konvekce (beze srážek);
  - oblačnost hluboké konvekce.
- Výpočet **vrstevnaté oblačnosti bylo třeba revidovat** při změně rozlišení, aby lépe zohlednilo rozložení vlhkosti uvnitř buňky. Byla posílena tvorba oblačnosti mělké konvekce. Množství oblačnosti se obecně zvýšilo.



# Asimilační cyklus

Co bylo třeba změnit:

- Změna rozlišení vyžádala konstrukci nové matice  $\mathbf{B}$  kovariancí chyb předběžného pole (*míra přitažení* výsledné analýzy k předběžnému poli, *míra* horizontálního a vertikálního *šíření informace* z pozorování a *křížový vliv* na další analyzované prvky ); byly přeladěny koeficienty pro vlhkost;
- Nové NH prognostické proměnné ( $w$ ,  $p$ ) nejsou součástí kontrolního vektoru ( $u$ ,  $v$ ,  $T$ ,  $q_v$ ,  $\pi_s$  ve všech uzlových bodech); jsou převzaty z předběžného pole.

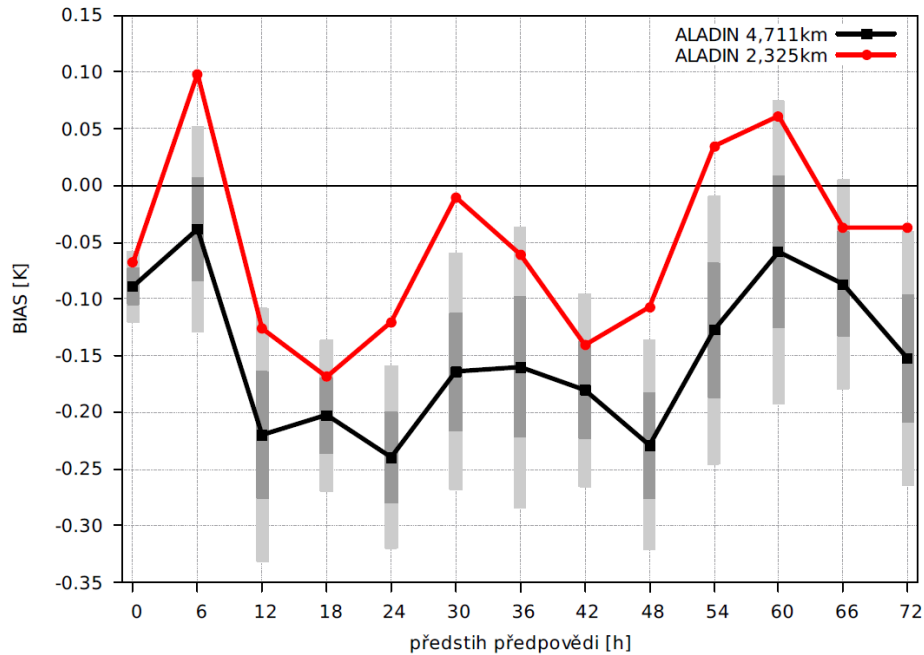


Ilustrace tzv. spin-up efektu v asimilačním cyklu. Zařazení pozorování vždy způsobí drobné nerovnováhy – vyšší tendence přízemního tlaku.

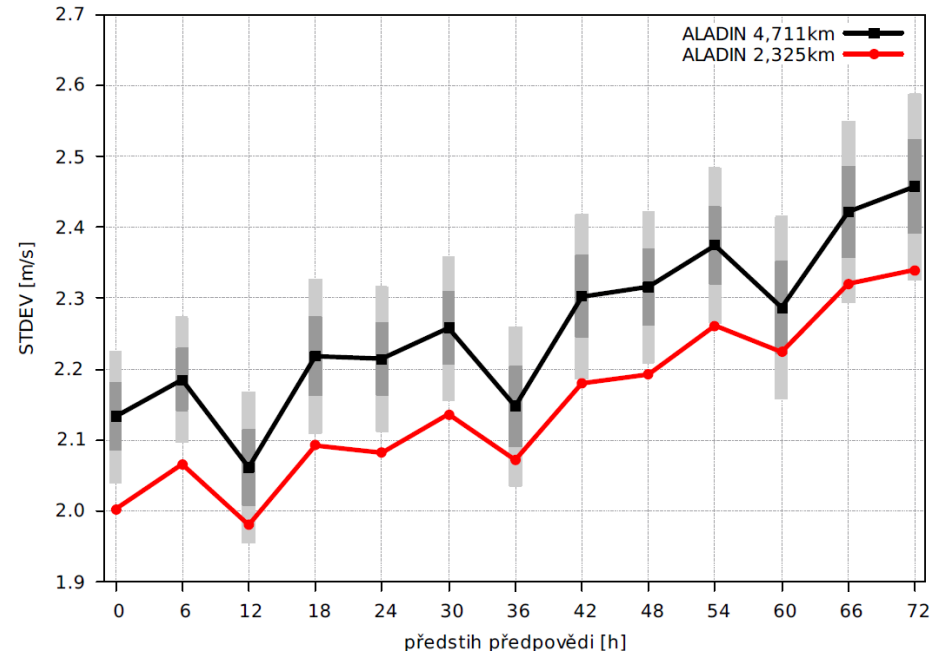
Nová verze má spin-up efekt menší.

# Ukázky výsledků – přízemní parametry

Soustavná chyba (BIAS) 2m teploty

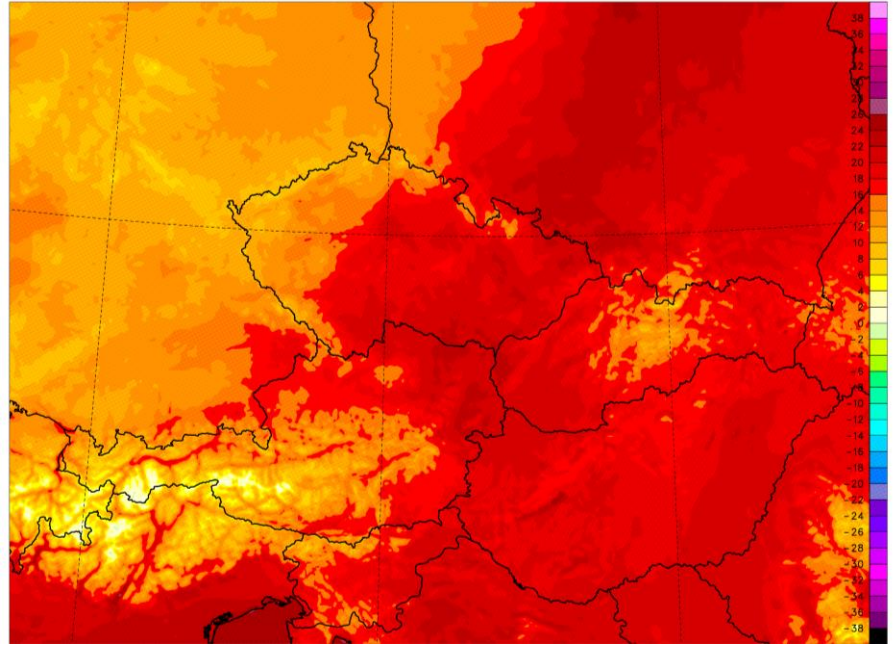
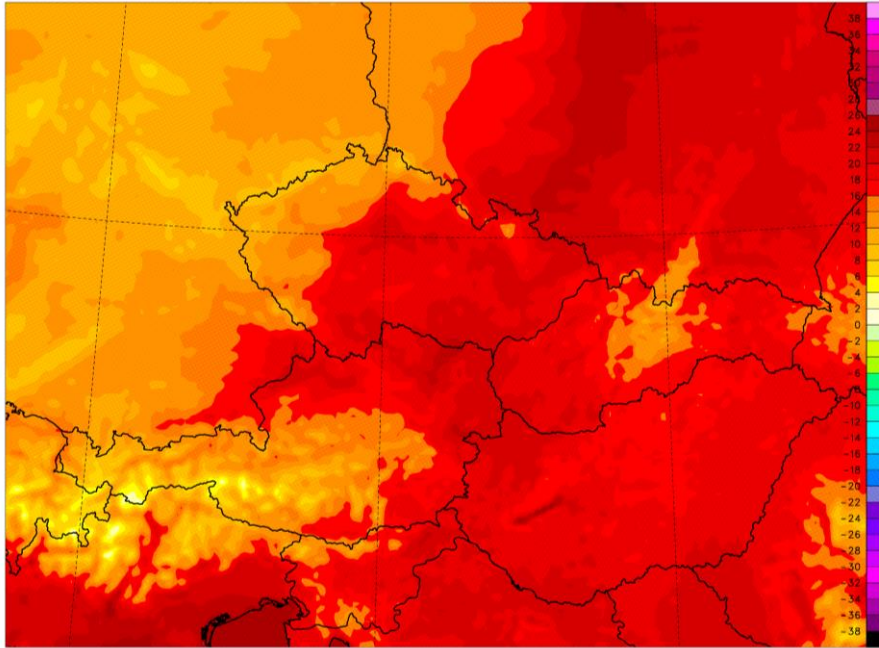


Náhodná chyba (STDEV) rychlosti 10m větru



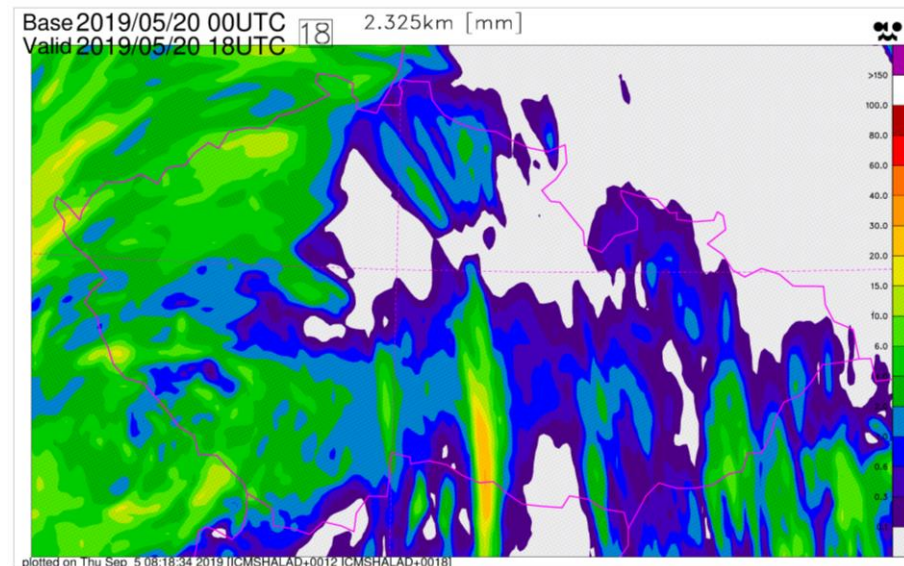
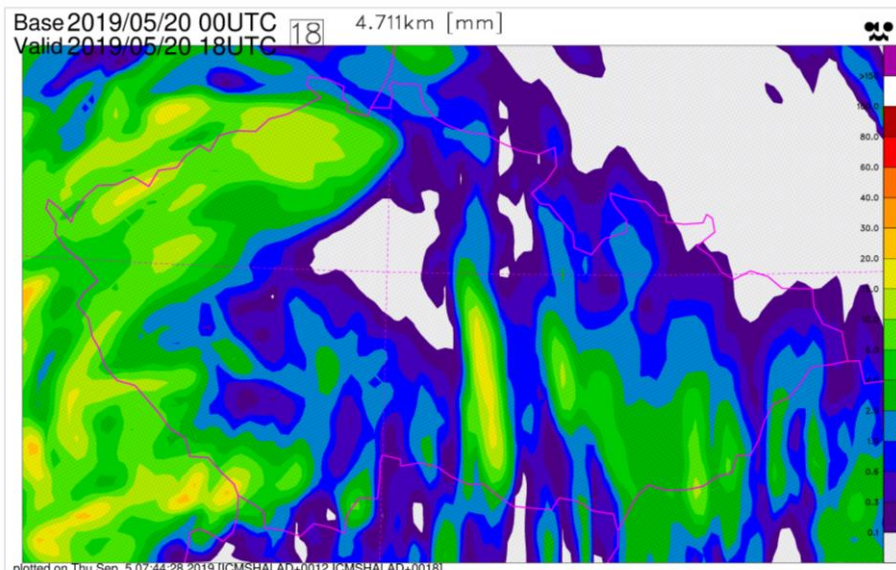
Skóre teploty ve 2 m (vlevo) a větru v 10 m (vpravo) – výsledky ze zimního období 2019  
Zobrazeny jsou též intervaly spolehlivosti pro  $\sigma$  a  $2\sigma$ .

# Teplota - mapky

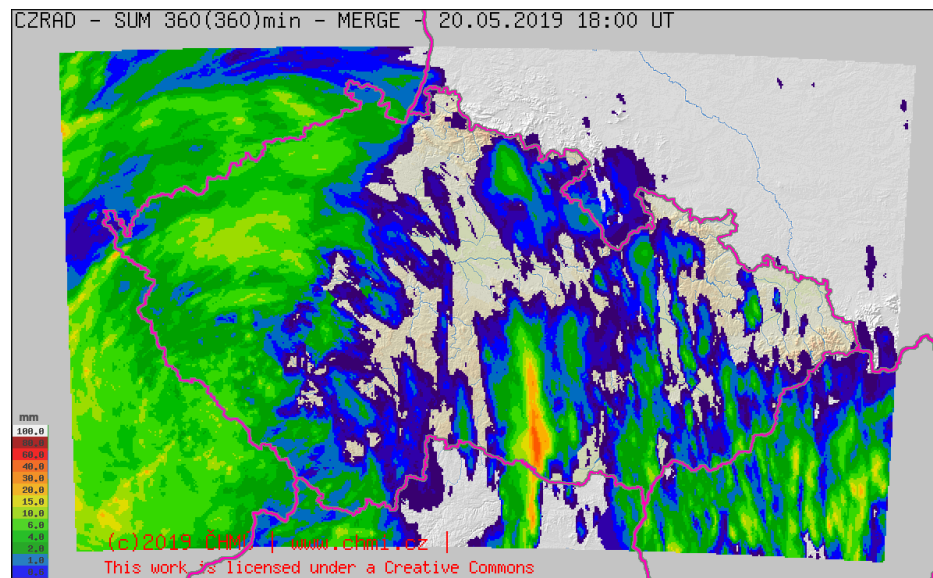


Efekt vyššího rozlišení v poli teploty ve 2m nad zemí. Letní situace s přechodem fronty. Řešení ve vysokém rozlišení 2,325 km je vpravo s detaily zejména v horách.

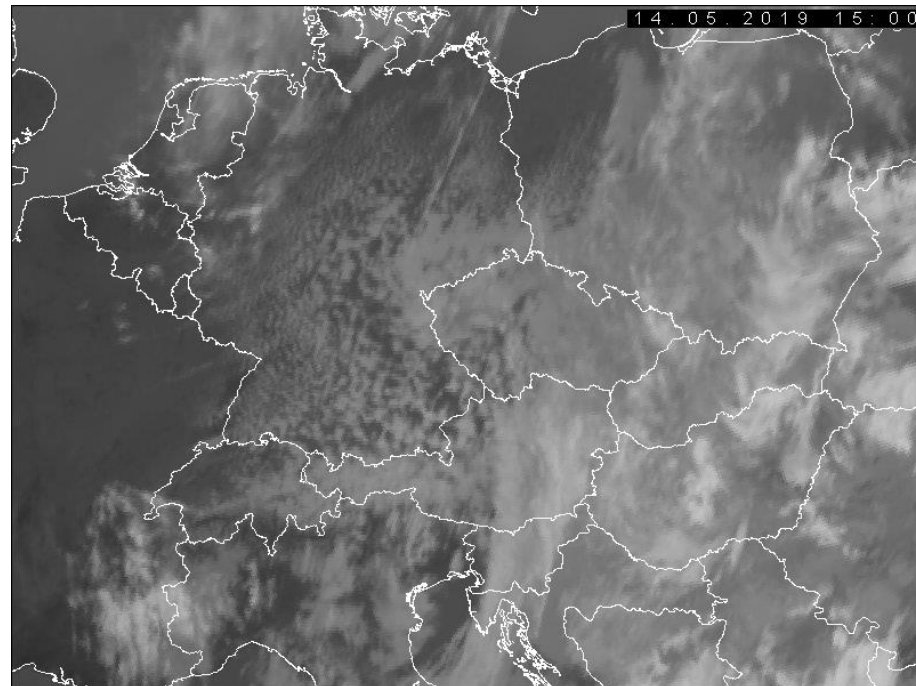
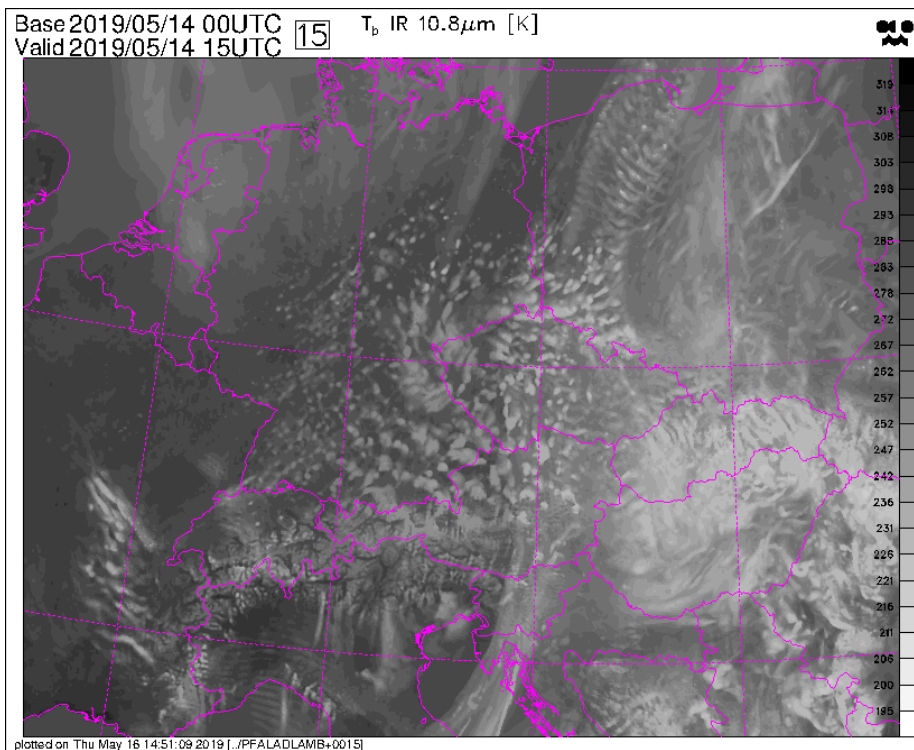
# Srážky - mapky



Ukázka struktury předpovězených srážkových úhrnů za 6h v nízkém a ve vysokém rozlišení.  
Situace 20/05/2019, předpověď na +18h.

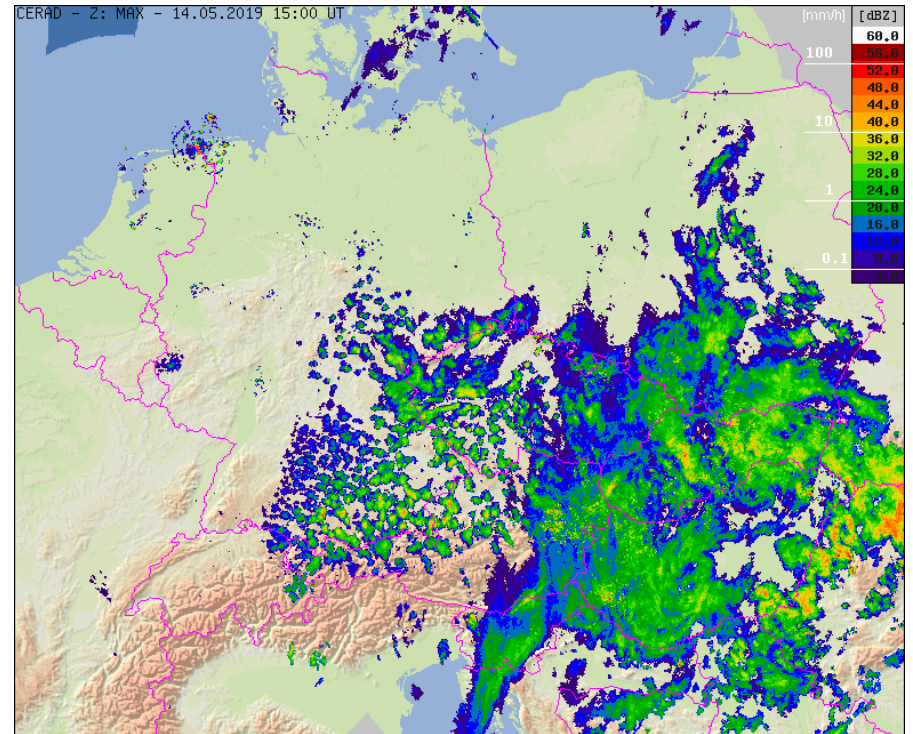
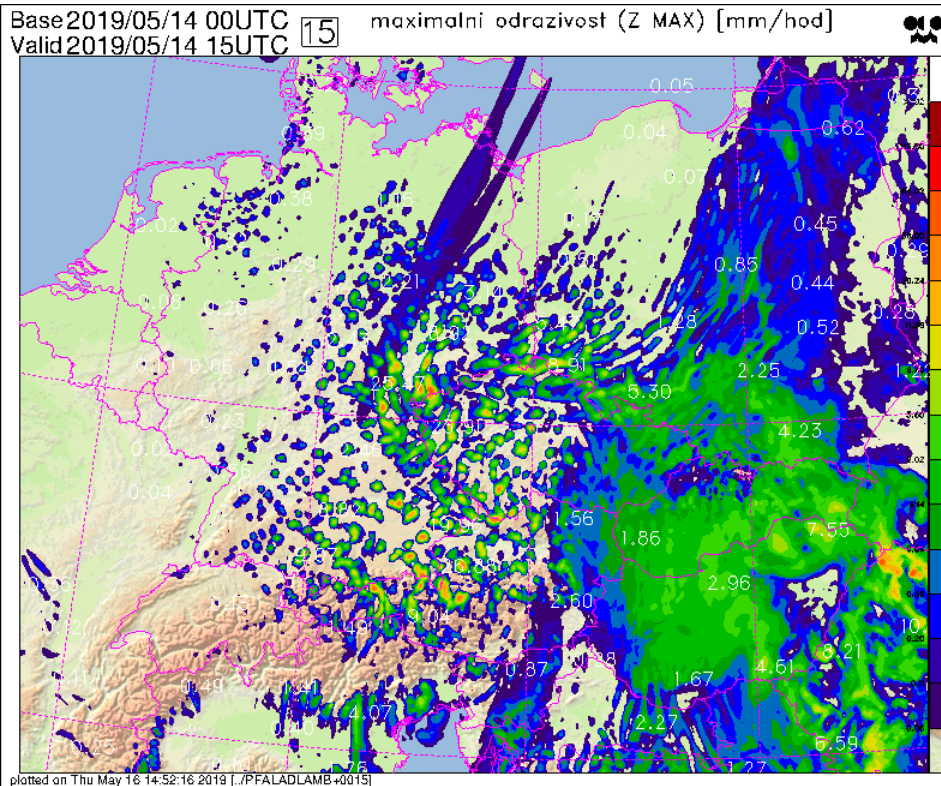


# Nový produkt – předpověď satelitního snímku v kanálu IR



Jasová teplota předpovězená modelem  
(vlevo) a pozorovaná (satelit MSG)

# Nový produkt – předpověď maximální radarové odrazivosti



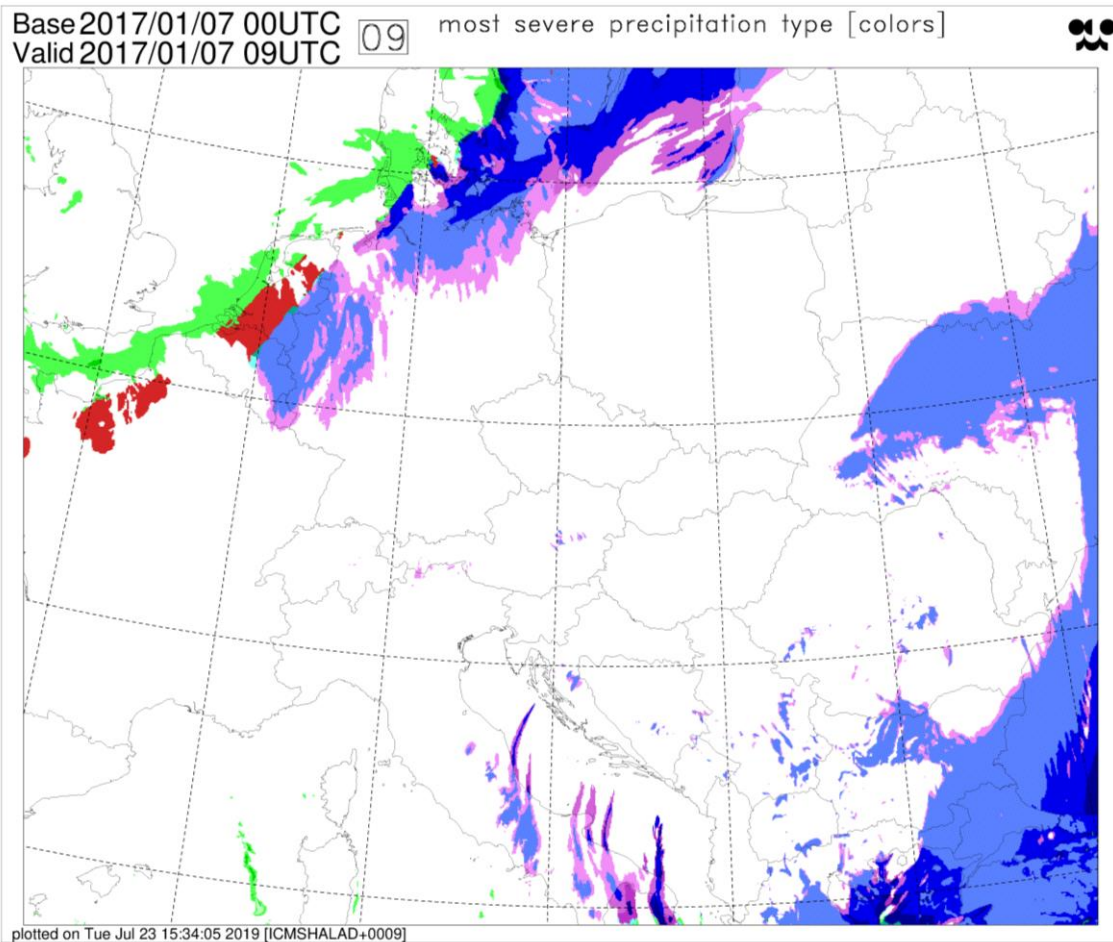
Předpověď maximální radarové odrazivosti ve sloupci modelem (vlevo) a pozorování (produkt OPERA, vpravo).

# Shrnutí

- Představili jsme důležitou část práce, která je spojena se zvýšením rozlišení modelu, zejména se skutečností, že se posune spektrum modelem rozlišené cirkulace;
- Další velkou změnou bylo zavedení nehydrostatické verze;
- Výsledky modelu se zlepšily, v některých skóre významně;
- Na této verzi modelu budeme dále stavět a připravovat zlepšení a další produkty;
- Prezentace se nedotýká mnoha dalších technických aspektů, jako co znamenalo zvýšení rozlišení pro hladké zajištění veškeré sady produktů pro uživatele.



# Již brzy ...



Typ srážek	barva
děšť	green
mrznoucí děšť	red
suchý sníh	light blue
mokrý sníh	dark blue
smíšené srážky – děšť a sníh	teal
jehličky	purple
krupička, malé kroupy	yellow
kroupy	orange
mrholení	light green
mrznoucí mrholení	red
mokrý sníh s deštěm/ plískanice	dark blue
občasný děšť	light green
občasný suchý sníh	light purple
občasný mokrý sníh	medium purple
občasné smíšené srážky	cyan
Občasný mokrý sníh s deštěm/ plískanice	dark purple